

МИНИСТЕРСТВО ГЕОЛОГИИ СССР
ОРДЕНА ТРУДОВОГО КРАСНОГО ЗНАМЕНИ ВТОРОЕ
ГИДРОГЕОЛОГИЧЕСКОЕ УПРАВЛЕНИЕ

Уч. № 081

ГЕОЛОГИЧЕСКАЯ
КАРТА СССР

МАСШТАБА 1:200 000

СЕРИЯ УДСКАЯ

Лист № 53-XI

Объяснительная записка

Составители: С.И.Горюхов, В.Б.Караулов
Редактор Л.И.Красный

Утверждено Научно-редакционным советом ВСЕГЕИ
26 апреля 1968г., протокол № 15

ВВЕДЕНИЕ

Площадь листа №-53-ХI ограничена координатами $54^{\circ}40'$ и $55^{\circ}20'$ с.ш. и $136^{\circ}00'$ и $137^{\circ}00'$ в.д., включает западную часть о-ва Феклистова с примыкающими к нему мелкими островами Сухотина и Шлюза, о-в Сахарная Голова, о-ва Сивучи Камни (все они входят в группу Шантарских островов), северную часть о-ва Медвежьего, северную оконечность мыса Мал.Лутанка (южное побережье Усской губы) и небольшой участок северо-западного побережья Усской губы в районе мыса Мальмейна^х, а также значительную часть акватории Охотского моря. По административному делению острова и участки материка относятся к Туруро-Чумиканскому району Хасаровского края.

Рельеф островной суши низкогорный. С юго-запада на северо-восток через о-Феклистова протягивается хребет с многочисленными отрогами. Вершины куполоидные. Максимальная отметка 484 м. Водораздельная линия извилиста. Глубина эрозионного вреза 250–350 м. Склоны прямые крутизной 10–15°, местами до 20–30°. Воды моря склоны переходят в обрывы, высота которых достигает 100–200 м. Долины рек в верховьях имеют U-образный поперечный профиль, в низовьях – трапециевидный профиль. В долине р.Лебяжья выделяются три надпойменные террасы высотой соответственно 1–3, 2–10 и 5–15 м. Мелкие острова снижаются к морю крутыми, почти вертикальными обрывами. Абсолютная отметка о.Сахарная Голова 303 м, о.Медвежий – 235 м, о-вов Сивучи Камни – 106 и 94 м.

^х Постольку в физико-географическом и геологическом отношении этот участок составляет единое целое с хр.Прибрежным, при подготовке геологических карт к изданию он включен в состав листа №-53-Х (с клапаном №-53-Х) Дальневосточной серии Издательства соответствующей объяснительной записке (Чернянский, 1976Ф). В настоящей объяснительной записке это описание не повторяется.

На островах Фокистова и Медвежий имеются постоянные водотоки, на о. Сахарная Голова — источники пресной воды (ролники), более мелкие острова безводны.

Острова омываются водами Охотского моря. Глубина моря вблизи островов не превышает 30—40 м., в северо-восточном направлении она постепенно увеличивается до 50 м. Максимальная высота приливов 5—7 м. Вблизи берегов и в проливах скорость приливных течений достигает 10—15 км/час.

Район характеризуется северным вариантом муссонного климата. Летом преобладают влажные восточные и юго-восточные, зимой — сухие холодные северо-западные ветры. Лето короткое, сравнительно теплое, с затяжными моросящими дождями и частыми грозами. Наиболее теплый месяц — август, среднемесячная температура которого +12,3°С. Максимальная температура в июле и августе достигает 25—30°. Зима характеризуется морозной малооблачной погодой с сильными ветрами. Самый холодный месяц — январь (среднемесячная температура -21,8°), абсолютный минимум — 42°С. При смене летних муссонных ветров зимними характерны штормы, число которых в октябре достигает четырех. Снежный покров устанавливается в конце октября. Из 500 мм осадков 200 мм выпадает в течение марта — сентября.

Растительность охотского типа: лиственница, ель, каменистая береза, заросли кедрового стланника. В районе часто встречаются бурый медведь, соболь, ласка, горностай, выдра, лисица, а также белка, бурундук и другие мелкие грызуны. Из морских млекопитающих известны белуха и кит-полосатик, много ластоногих: нерпа, ларга, лахтак, сивуч. Район богат птицей и рыбой.

На всем протяжении береговой линии в обрамленных морем обрывах имеются прекрасные обнажения коренных пород. Внутренняя часть территории островов обнажена хуже. Отдельные выходы коренных пород встречаются на водораздельных поверхностях в виде скалистых останцов и в подмыаемых берегах рек. Чаще встречаются глыбовые развали и щебнисто-глыбовые осадки.

Ближайшие населенные пункты — поселки Шантар (о-в Бол. Шантар) и Чулкан (крупный районный центр в устье р. Учи). Летом связь с материком осуществляется морским транспортом. Навигация открывается в июле и заканчивается в октябре. Зимой связь поддерживается воздушным транспортом.

Первые сведения о геологическом строении Шантарских островов и прилегающих частей материка имеются в работах А.Ф. Магндорфа (1860 г.), Н.Г. Магницкого (Медников, 1893) и К.И. Богдановича (1889 г.). В 1940 г. Л.И. Красный совершил краткий

поездку на о-в Большой Шантар. В 1948 г. Л.И. Красный и Г.С. Ганелин проводили геологосъемочные работы на о-вах Большой Шантар, Фокистова и Прокофьева, в результате которых ими была разработана схема стратиграфии палеозойских отложений, были изучены интрузионные породы и четвертичные отложения, составлены геологическая и геоморфологическая карты, примерно соответствующие масштабу 1:200 000, и обнаружены проявления ряда полезных ископаемых (марганца, молибдена, золота и др.). По данным Л.И. Красного (1960), на Шантарских островах последовательность свит такая (снизу): свита мыса Горбатого, яшинская свита (средний девон), свита мыса Радужного, перевальниковская свита (верхний девон), анаурская свита (нижний карбон).

В 1949 г. Л.И. Красный и Г.С. Ганелин изучали геологическое строение Тором-Тугурского района, расположенного напосредственно к югу от территории листа № 53-ХI. В 1953 г. Шантарский район Охотского моря изучался экспедицией Всесоюзного научно-исследовательского института морского рыбного хозяйства и океанографии (ВНИРО). В результате были получены данные о рельефе дна Охотского моря и составе покрывающих его современных осадков (Германович, 1955, 1958).

В 1958—1959 гг. С.И. Горюхов, А.К. Салдугаев и др. проводили геологические исследования на территории смежного с листом № 53-ХУЛ. Полученные ими материалы использованы авторами при описании геологического строения мыса Мал. Дутанда. В 1960 г. Н.В. Душкина детально исследовала строение Фокистовского гипербазитового массива. В 1963—1964 гг. авторами настоящей записи при участии В.В. Водяникова, В.Л. Карапузовой, Ю.Д. Кретинина и др. были проведены комплексные геологические и гидрогеологические исследования Шантарских островов. Детальное изучение разрезов и новые находки ископаемой фауны и фитори позволили внести существенные изменения в схему стратиграфии палеозойских отложений. Эти изменения касаются, главным образом, верхов и низов палеозойского разреза. Расчленение среднедевонских и верхнедевонских отложений примерно соответствует схеме Л.И. Красного (название большей части свит изменено в соответствии с правильной выделения стратотипов). Помимо изучения береговых обнажений была профилана сеть редакционно-уточняющих маршрутов, а также проведены поисковые работы. Полученные материалы легли в основу при составлении настоящей записки и карт. Авторами использованы также материалы по аэромагнитной съемке масштаба 1:200 000, проведенной в 1958—1961 гг. И.И. Шапоцкой и С.И. Диденко.

СТРАТИГРАФИЯ

На западном побережье о-ва Феклистова составлен следующий разрез омокской свиты (снизу вверх):

В геологическом строении района главную роль играют отложенные палеозойского возраста, расположенные на ряд согласно залегающих свит^X. Они прорваны позднепалеозойскими (?) и позднемеловыми интрузиями и перекрыты маломощными рыхлыми образованиями четвертичного возраста. На юге района выходят верхнеюрские осадочные отложения. Верхнеурские-меловые вулканогенно-осадочные толщи и верхнечетвертичные - современные отложения, выходящие на северо-западе района, описаны в объяснительной записке к листу N-53-X (с планом N-53-XI); (Черниавский, 1976).

ДЕВНИСКАЯ СИСТЕМА

ВЕРХНИЙ ОТДЕЛ

Омокийская свита (*D_{om}*) выделена авторами на северо-западе о-ва Бол.Шантар, в бассейнах рек Бол. Омокой и Мал.Омокой. Она прослеживается от восточного побережья о-ва Феклистова на юго-запад в виде полосы шириной до 5 км и, по-видимому, слагает о-ва Сивучи Камы.

Омокийская свита представлена разноцветными кремнистыми породами, светло-серыми известняками, мраморизованными окварцованными (местами по кварцитов), туфитами, окремнелыми алевролитами и разновозрастными песчаниками с многочисленными линзами основных эфузивов и их туфов. Встречается отдельные линзы конгломератов. Полоса этой свиты на территории листа N-53-XI не обнажается. На юго-востоке о-ва Феклистова (территория листа N-53-XII) наблюдалось ее согласное залегание на боковиковой свите среднего девона. Стратиграфическая выше согласно залегает боковиковая свита.

^X/Новые данные, полученные авторами, позволят им обосновать свою варианту геологического строения Шантарских островов, однако отсутствие в низах и верхах разреза исключаемой фации и противоречность результатов палинологического анализа и анализа абсолютного возраста эфузивов, а также доказуемость систематического положения онколов и катаграфий не дают возможности однозначно решить вопрос о возрасте этих форм. Кроме того, гипотетическое ходство некоторых других свит предполагает возможность повторения отдельных частей разреза. - Прим.ред.

Многочисленными неправильными прослоями и линзами туфитов, кремнистых пород, диабазов, диабазовых порфритов, агломератных лав, окремнелых песчаников и окварцованных известняков	360 "
5. Туфиты зеленые, рассланцованные, с прослоями алевролитов и песчаников и мощными (до 100 м) линзами окварцованных известняков, в которых изредка встречаются перекристаллизованные членники крипнокелей (по мнению авторов), а также онколиты <i>Oscadia tenella</i> Raite. (заключение З.И.Журавлевой)	около 500 "
Общая мощность около 2000 м.	
Фрагменты аналогичного разреза можно наблюдать по руч. Травяному. Здесь, особенно в верхах, очень много белых и серых мраморизованных и окварцованных известняков. Серые известняки с проблематичными органическими остатками (<i>Vesicularites rectus</i> Z.Dzur.) встречаются также в среднем течении р.Мельвель.	
На восточном побережье о-ва Феклистова (разрез составлен на территории листа N-53-XII) нижняя граница этой свиты проводится по подошве пачки разноцветных ярко окрашенных кремнистых пород или окремнелых песчаников с линзами кремнистых пород. Мощность омокской свиты здесь около 1700 м.	
Несмотря на плохую обнаженность внутренней части острова, полоса кремнистых, вулканогенных и карбонатных пород четко прослеживается через всю его территорию.	
Разноцветные яшмовидные кремнистые породы, играющие существенную роль в составе омокской свиты, нередко содержат	

реликты радиолярий. Известники почти всегда мраморизованы и часто окварцованны, превращены в белые и голубовато-серые кварциты, постепенные переходы которых в слабо измененные известники наблюдались в ряде мест. Территориальные породы обычно сильно окремнены и нередко переходят в туфриты и кремнистые породы. Фациальная изменчивость очень резкая.

Из органических остатков обнаружены только раздробленные и перекристаллизованные членники криноидей в известняках, плохо сохранившиеся скелеты радиолярий в кремнистых породах и туфах и микропроблематики. Согласное залегание омской синь на боковиковой, содержащей фауну верхов среднего девона, и под большеморской синью с флорой верхнего девона (см. выше), позволяет уверенно говорить о ее позднедевонском (скорее всего франском) возрасте.

Большемокаясия (Дзб.) выделена авторами на северо-западе о-ва Бол.Шантар, в бассейне р.Бол.Омокой. На о-ве Феклистова выходы ее приурочены к двум участкам — южному (бассейн губы Лебяжий) и северному, разделенным пологой впадиной омокойской синклинией. Эта же синклиния выходит на о-вах Медведевом, Сухотина, Шилова и Сахарная Голова. Она представлена буровато-серыми и средне- и крупнозернистыми полимиктовыми песчаниками (чаще известковистыми) с тонкими прослоями темных рассланцованных алевролитов, а также с прослойками и лин-

зами мраморизованных, местами доломитизированных известняков, гравелитов, конгломератов, реже лимабазовых порфиритов и единичными прослоями разноцветных кремнистых пород и туфритов. Встречаются пачки ритмичного переслаивания песчаников и алевролитов и горизонты глинистых брекчий. Эти отложения согласно подстилаются омскойской святой и перекрыты феклистовской святой.

Сводный разрез сибирь-кокской свиды, состоящим береговым обнажением западного и северо-западного побережья о-ва Феклистова, имеет следующее строение (снизу вверх):

Х. Примыкание автограми записки ланне о совместном нахождении онкологов и катаграфий и Левонской научны имеет большое онкостратиграфическое значение. Для решения вопроса об изменении существующих представлений о древнем (позже кемеровском-коми-каменском) возрасте онкологов и катаграфий необходимы специальные совместные исследования онкостратиграфов и геологов. Шантарские острова в этом отношении являются весьма удобным объектом. Возможно, что систематическое положение водорослей (микропроблематика) окажется иным, чем это сейчас принято. — Прим. ред.

Г. Песчанка полимиктовые, крупнозернистые,

буровато-серые, с отдельными прослойками черных расщепленных алевролитов около 300 м

3. Песчаники разнозернистые, буровато-серые

массивные, чередующиеся с пачками переслаивания тех же песчаников и черных рассланцованных алевролитов

(количество прослоев алевролитов вверх по разрезу убывает), отдельные линзы окварцовых известняков

4. Песчаники крупнозернистые, буровато-серые, часто известковистые, с прослойками и пачками темных

мелкозернистых песчаников и алевролитов, содержащие значительное количество линз мраморизованных и оквар-

цованых известняков (от 2-5 до 50-70 м), а также контломератов, гравелитов, диабазовых порфиритов и

Кремнистых город. На них редко имеются пересечения с песчаниками и алевролитами, чередующимися с горизонтами

подводно-оползневых глыбовых брекчий размер отдельных замкнутых в них угловатых глыб достигает 2 м). В настоящем изложении встречается наименование

1-2 м., с песчаниками, южными долинами и
ный лепитус

5. Тесчанки и алевролиты, местами ритмично переслаивающиеся, часто рассланцованные и

б. Песчаники полимиктовые, крупнозернистые, буровато-серые, с прослоями и пачками темных мелко-пакостных пестрчатых и зелено-бурых, соленосные лин-

Зернистые, состоящие из зерен, соединенных между собой, мраморизованные и окварцованные извест-
зы (2-5 м) и контгломератов. Отдельные крупные линзы из-
няков и контгломератов.

вестников достигает мощности 150 м, линзы конгломератов - 50-70 м. В известниках встречены катаграфии

Vesicularites concretus Z.Zaur. и *V.rectus* Z.Zhur. Гальки в конгломератах представлены песчаниками

(90%) и оквартированными известняками (10%). Местами можно проследить переход континентальных в полудельно-оползневые брекчи (континентально-брекчии) . . . около 500 "

Общая мощность около 2400 м.

Выше согласно застежет Фергустовская синта, нижня гранит которой проводится по резкому увеличению в разрезе количества линз и прослоев основных эфтуэльзов, зеленых туфиков и кремнистых пород.

Сравнительно полный разрез большемокской синты вскрывается также в береговых обрывах бухты Энгельма. Контакт с подстилающей омокской святой тектонический. К юго-востоку от устья впадающего здесь ручья обнажается (снизу вверх):

1. Песчаники полимитовые, крупнозернистые, серые, часто окремнившие, с мелкими линзами гравелитов и проложами темно-серых мелкозернистых песчаников, алевролитов и кремнистых пород; пачки тонкого ритмичного переслаивания песчаников и алевролитов	400 м
2. Песчаники крупнозернистые, серые, массивные, с очень редкими тонкими прослоями темных мелкозернистых песчаников и алевролитов	450 "
3. Песчаники крупнозернистые, массивные, с прослоями гравелитов и пачками (1-3 м) тонкого переслаивания алевролитов и песчаников	70 "
4. Песчаники крупнозернистые, буровато-серые, массивные, с очень редкими тонкими прослоями темно-серых мелкозернистых песчаников, черных алевролитов и зеленых туфлитов	160 "
5. Кремнистые породы разновидные (зеленые, красные, серые), яйцевидные, с реликтами радиолярий, содержащие отдельные линзы зеленых диабазовых пород; в основании — тонкое переслаивание (1-3 см) кремнистых пород, туфлитов и окремнивших алевролитов	150 "
6. Песчаники полимитовые, крупнозернистые, серые, с отдельными прослоями гравелитов и темных мелкозернистых песчаников и алевролитов. Количество прослоев черных алевролитов и пачек их тонкого чередования с песчаниками возрастает вверх по разрезу. В 1,2 км западнее мыса Красного в одном из прослоев черных рассланцованных уплистых алевролитов обнаружены остатки ископаемой фигуры: <i>Asterocalamites astrobicalatus</i> Schloth., <i>Lepidodendron</i> sp., <i>Syringodendron</i> sp. (определение Е.Ф.Заслесской, ИПГИ АН ССР)	200 "

7. Песчаники крупнозернистые, серые

(с поверхности буровато-серые, местами почти красные), с прослоями гравелитов и седиментационных брекций (обломки и мелкие гальки представлены кремнистыми породами и песчаниками),

редкие прослои (до 1-2 м) черных мелкозернистых песчаников и алевролитов и пачки (до 3 м) тонкого (2-5 см) чередования алевролитов и песчаников 200 м

Общая видимая мощность около 1600 м.

В бассейне р. Лебяжей стояния большемокской синты приурочены к яйру и крыльям сложно построенной синклиналии. Из-за обилия складок разных порядков и различных нарушений составить подробный разрез на этом участке не удалось, но в целом разрез, наблюдавшийся к востоку от мыса Медвежьего, очень симметричен предыдущему выше. Здесь резко преобладают серые и буровато-серые крупнозернистые песчаники с отдельными тонкими, местами ритмично повторяющимися прослоями темных мелкозернистых песчаников и алевролитов. В верхах видимой части разреза встречен горизонт вулканогенных и кремнистых пород, аналогичный пачке 5 предыдущего разреза (он показан на геологической карте как маркирующий), выше которого в крупнозернистых песчаниках обнаружены растительные остатки, напоминающие *Astero-salamites acrobiculatus* Schloth.

Точно такие же состав и строение имеет эта свита на о-ве Медвежьем. Здесь в алевролитах на северном берегу обнаружены растительные остатки плохой сохранности. Из этих же алевролитов выделены споры и пыльца, среди которых А.М.Медведев определил единичные формы: *Leiotrilites microtugosus* (Ihr.) Naum., *Tachytrochites solidus* Naum., *Stenoponotri-lates laevigatus* Naum.

Таким образом, большемокская свита всюду имеет преимущественно террагенный состав, причем преобладают средние и крупнозернистые полимитовые песчаники. На отдельных участках присутствуют линзы гравелитов, конгломератов и известняков. Часто встречаются пачки ритмичного переслаивания песчаников и алевролитов (ритмичность напоминает фишеву). Эти пачки местами переходят в своеобразные породы, состоящие из крупных (до 1-2 м) утолщенных глыб песчаников, сцепленных черной алеврото-глинистой основной массой (глиевые брекции). В результате сильного рассланцевания острые углы стягиваются и обломочные включения приобретают линзовидную форму и однод-

разную ориентировку. Скорее всего, это образование типа подводно-оползневых брекций.

Фациальная изменчивость в целом весьма резкая, но на некоторых участках пачки ритмичного переслаивания и горизонты вулканического-кремнистых пород прослеживаются на большие расстояния.

Мощность большеомокайской свиты колеблется от 1800 до 2400 м.

Растительные остатки, собранные в верхней части большеомокайской свиты, характеризуют интервал от верхов девона (фаменский ярус) до низов карбона. Споры и пыльца, обнаруженные на о-ве Медвежьем, определяют возраст имеющих пород как девонский, не позволяя более детальной датировки. Учитывая, что эта свита образует вместе с подстилающей ее омокайской свитой единый седиментационный комплекс, можно считать, что она относится к фаменскому ярусу верхнего девона.

КАМЕННОУГОЛЬНАЯ СИСТЕМА

Н и х н и й о т д е л

Ф е к л и с т о в с к а я с в и т а ($C_1 f/k$). На севере о-ва Феклистова большеомокайская свита согласно перекрыта отложениями, резко отличающимися от нее по составу и выпаденными авторами под названием феклистовской свиты. Этой свите завершается разрез палеозойских отложений Шантарских островов.

Феклистовская свита представлена темными рассланцованными алевролитами и разнозернистыми песчаниками с многочисленными прослоями и линзами туфитов, разноцветных кремнистых пород, белых и розовых мраморизованных и окварцованных известняков, зеленых и красновато-бурых основных эфузивов и их туфов.

Наиболее полный разрез феклистовской свиты вскрывается в береговых обрывах северного побережья о-ва Феклистова. Описание его приведено в объяснительной записке к геологической карте листа №-53-ХI (Торхов, Каравлов, 1976). На описываемой территории эта свита обнажена значительно хуже, а береговые обрывы срезают ее почти по простирации. В низах феклистовской свиты залегает пачка переслаивания разнозернистых песчаников и алевролитов, часто сильно рассланцованных, содержащих большое количество мелких линз кремнистых пород, основных эфузивов, туфов и окварцованных известняков. Выше количество и мощность прослоев линз основных эфузивов, туфов, туфитов, кремнистых пород и

известняков возрастает, появляются розовые известняки, а также мелкие линзы гравелитов и конгломератов. Мощность этой части разреза 700-800 м (посчитана графически). В верхах преобладают территиренные породы (песчаники и алевролиты), содержащие лишь единичные линзы эфузивов, известняков, кремнистых пород и туфов.

Таким образом, на территории листа №-53-ХI феклистовская свита сохраняет двухслойное строение, однако сравнение с разрезами, составленными на северо-восточке о-ва Феклистова и на о-ве Бол.Шантар, показывает, что количество эфузивных и вулканогенно-кремнистых пород в ее нижней части в юго-западном направлении сокращается за счет увеличения доли территиренных пород (в основном песчаников). Фациальная изменчивость резкая.

Общая мощность феклистовской свиты превышает 2200 м.

Раннекаменноугольный возраст феклистовской свиты установлен на том основании, что в верхней части подстилающей ее большеомокайской свиты содержится ископаемая флора, характерная для конца девона - начала карбона. Резкая смена территиренных отложений большеомокайской свиты вулканогенно-кремнистыми образованием феклистовской свиты свидетельствует о существенных палеогеографических изменениях, которые происходили, скорее всего, на рубеже позднедевонской и раннекаменноугольной эпох.

ИРСКАЯ СИСТЕМА

В е р х н и й о т д е л

Кимериджский и титонский ярусы ($J_3 km+t$)

На северной оконечности полуострова, оканчивающейся мысом Мал.Лутянка обнажается толща песчаников и алевролитов с практическими горизонтальным залеганием слоев. Верхнегорские отложения, охарактеризованные многочисленной фауной, широко развиты на северной с юга территории (лист №-53-ХII). На описываемой территории мало вероятно, что среднетриасовый разрез заканчивается глинистыми рапакивинами отложениями. Возможно, этот разрез венчается территиренной большеомокайской свитой, содержащей фтору. Этому не противоречат данные об абсолютном возрасте эфузивов феклистовской свиты (385-380 млн. лет). - Прим.

тории выступает лишь верхняя часть толщи киммерий-титонского возраста.

На участке мыса Мал.Лутанда установлен следующий разрез

(снизу вверх):

1. Песчаники полимиктовые, крупно- и средне-зернистые, зеленовато-серые более 5 м

2. Алевролиты темно-серые, тонкослоистые с алевритовой и алевролитсаммитовой структурой. В

основании пачки отмечается растительный детрит и отпечатками *Ancella sp.* и *Ancella mosquensis*.

3. Песчаники полимиктовые, неравномернозернистые серые, с редкими маломощными (3-10 см)

прослоями алевролитов 30 "

4. Переслаивающиеся полимиктовые песчаники (0,2-0,5 м) и алевролиты (0,05-0,6 м) тонкослоистые 22 "

5. Алевролиты темно-серые и черные с маломощными прослоями алевролитов 6-12 "

6. Песчаники зеленовато-серые, с редкими мало- мощными прослоями алевролитов 35 "

Общая видимая мощность 110 м, полная мощность этой толщи достигает 280-380 м.

В целом для киммерий-титонских отложений характерна слабая сортировка обломочного материала. В алевролитах отмечается тонкая параллельная слоистость, в песчаниках изредка наблюдается косая слоистость. Пачки и отдельные слои алевролитов подстилаются косыми изогнутыми прослойками, заметно изменяющимися по мощности и не- редко выклиниваются. В песчаниках присутствуют мелкие линзы гравелидов и конгломератов.

Отмеченная в разрезе ауледловая фауна характерна для киммерийского и титонского ярусов верхней юры.

ЧЕТВЕРТИЧНАЯ СИСТЕМА

Четвертичные отложения развиты почти повсеместно. Они

представлены генетическими типами элювиальной, гравитационной, водной и органогенной групп. Наибольшую мощность (до 20 м) имеют алювиальные отложения. К морскому побережью приурочены морские отложения, достигающие мощности 3-10 м. Элювиальные, гравитационные, дельвиально-солифлюкционные и другие отложения склонового ряда, перекрывающие водораздельные поверхности и

склоны гор сплошным маломощным (1-3 м, редко до 6 м) чехлом, а также органогенные образования (торфники мощностью до 2-3 м) на геологической карте не показаны.

В е р х н е ч е т в е р т и ч н ы е о т л о ж е н и я

Нижняя часть (Q_{III}¹)

Нижняя часть верхнечетвертичных отложений слагает речную террасу высотой от 5 до 15 м, которая широко развита в долине р.Лебяжьей (о-в Феклистова). Эти отложения представлены галечниками, валунами, суглинками и супесями с прослойами песков.

В междуречье рек Лебяжьей и Медведкой широком вскрыт следующий разрез верхней части 10-15-метровой террасы (снизу вверх):

1. Галечник средний, желтый, с песчаним заполнителем 0,4 м

2. Суглинок тяжелый, бурый, с гальками песчаников и кремнистых пород (до 20%) 1,1 "

3. Песок с гравием и гальками буровато-коричневый 0,5 "

4. Суглиник серый 0,2 "

Общая видимая мощность 2,2 м.

Другие шурфы вскрывают также лишь мелкоземистую часть аллювия этой террасы (преимущественно суглинки) и верхние горизонты подстилающих их галечников с валунами. Гальки и валуны средней окатаанности, элипсоидальной формы, состоят в основном из песчаников и кремнистых пород.

Мощность этих отложений может достигать 10 м. По данным, полученным на о-ве Бол.Шантар (Горохов, Караваев и др., 1976), спорово-пыльцевые спектры из их верхних горизонтов характеризуют климатические условия межледниковых. Принимая во внимание геоморфологическое положение этих осадков, можно считать, что формирование их происходило в позднечетвертичную межледниковую эпоху.

Верхняя часть (Q_{III}²)

Эти отложения развиты в долинах большинства рек и ручьев. На острове Феклистова они слагают речную террасу высотой от

2-3 м в верховых по 8-10 м в нижнем течении и представлены галечниками, суглинками и супесями.

На правом берегу р.Лебяжьей расщепленной в уступе 5-6-метровой террасы вскрыт следующий разрез (снизу вверх):

1. Галечник средний с суглинистым заполнителем.

(30-40%) слоистый, серый, с примесью галек (5-10%).

2. Суглинок тяжелый, серый, с примесью галек (5-10%).

Общая мощность 5 м.

Аналогичный разрез вскрыт расчисткой в уступе 2-3-метровой террасы р.Медведев.

Наиболее характерны крупные и средние галечники с суглинниками или гравийно-песчаным заполнителем. Гальки и валуны средней окатанности, в верховых — плохой окатанности, элипсоидальной формы, представлены в основном кремнистыми породами и песчаниками. Слоистость выражена слабо. Отдельные горизонты галечников слабо спланированы окислами железа и марганца. Мощность этих отложений колебается от 2-3 м в верховых рек до 10-15 м в нижнем течении.

Спорово-пылевые комплексы, содержащиеся в образцах из аллювия 2-10-метровых террас рек о-ва Бол.Шантар (Горюков, Караваев и др., 1976б), свидетельствуют о существовании во время нахождения этих осадков растительности, близкой к форме современной лесотундры. Принимая во внимание геоморфологическое положение осадков, можно считать, что формирование их связано с эпохой позднечетвертичного оледенения.

С о в р е м е н н ы е о т л о ж е н и я (Q₄)

На геологической карте выделены современные аллювимальные и морские стояния, представленные галечниками, валунами, супесями, суглинками и песками.

Современные аллювимальные отложения образуют пойму и прибрежную к ней местами надпойменную террасу высотой до 3 м. Они развиты в долинах всех рек и ручьев. В долинах рек Лебяжьей и Медведевской четко выделяются пойменная и русловая фации. В составе пойменной фации преобладают супеси и суглинки, реже встречаются пески. Суглинки и супеси имеют серый или желтовато-серый цвет, нередко они содержат погребенные почвенные горизонты. В верховых рек и ручьев пойменная фация обычно отсутствует. Русловая фация представлена галечниками с прослоями песков, в вер-

ховых рек — валунами. Преобладают плохо окатанные гальки песчаников и кремнистых пород, заполненные в гравийно-песчаном заполнителе. В приустевой части долины р.Лебяжьей наблюдается заливание осадков, связанное с подпором пресными водами.

Мощность современного аллювия не превышает 1-3 м в верховых и 5-6 м в нижнем течении.

Современные морские отложения слагают пляж и образуют кору, отделяющую долину р.Лебяжьей от берега моря. Они представлены гальками с гравийно-песчаным заполнителем, реже — гравием и песком. Слоистость пологоволнистая, повторяет очертания береговых валов. Для морских галечников характерна сравнительно хорошо сортированность, преобладают хорошо- и среднеокатанные гальки уплощенной формы. Состав галек соответствует составу пород, слагающих береговые обрывы. У подножья обрастающих скальных обрывов отложения пляжа содержат примесь щебня и глины. Мощность морских отложений колебается от 3-6 до 10 м. Формирование кос связано, скорее всего, с раннетоливновой трансгрессией.

ИНТРУЗИВНЫЕ ОБРАЗОВАНИЯ

Интрузивные породы образуют отдельные массивы, а также сравнительно немногочисленные лайки. Выделяются условно поздне-палеозойские и позднемеловые интрузии.

ПОЗДНЕПАЛЕОЗОЙСКИЕ ИНТРУЗИИ

К позднепалеозойским интрузиям образование условно отнесены оливиновые пироксениты, амфиболизированные пироксениты, горноблендиты, габро-пироксениты, лупиты и перидотиты, слагающие Феклистовский массив, а также прорывающие его лайки дунитов.

Феклистовский массив расположен на юго-западе о-ва Феклистова. В плане он имеет форму неправильного овала и занимает площадь около 9 км². Часть его скрыта под уровнем моря. По данным Л.И.Красного, уточненным Н.В.Лужкиной, для Феклистовского массива характерно концентрическо-зональное распределение слагающих его пород: от периферии к центру амфиболизированные пироксениты сменяются сначала оливиновыми пироксенитами, затем перидотитами и в ядре — лунитами. В этих породах хорошо выражено

Х/ Схема строения Феклистовского массива, составленная Н.В.Лужкиной, опубликована в книге "Геология СССР", Т.ХХ, 1966.

на периклазовая полосчатость, которая характеризуется повсеместным падением к центру массива с крутыми утлами наклона (от 50–60° вблизи центра до 70–85° по периферии).

Контакты с выщелачиванием верхнедевонскими отложениями крутое (70–85°) и наклонены, как и полосчатость, пол массив. Выщелачивание породы вблизи контактов превращены в роговики. Ширина зонн контактового метаморфизма 100–200 м. Эндоконтактовые изменения проявляются в том, что пироксениты в узкой (15–20 м) полосе вблизи контактов с южношведскими породами приобретают резко порфировидную текстуру с мелкозернистой структурой основной массы. Форму массива в целом можно назвать воронкообразной.

В приконтактовой зоне расположено несколько небольших резко секущих штокобразных тел габброидного состава, которые являются (по Н. В. Лужиной) производными самостоятельной матки и рассматриваются авторами в составе поздненефелового интрузивного комплекса.

Формирование феклисто-вулканического массива происходило в две фазы. К первой fase относятся разнообразные ультраосновные и основные породы, ко второй – дуниты.

Пироксениты, габбро-пироксениты и перидотиты (σ_{Pz_3})

Амфиболизированные пироксениты, гарноклазиты, габбро-пироксениты, оливиновые пироксениты и перидотиты образуют внешнюю, большую часть феклисто-вулканического массива. Ниже приводится их краткая петрографическая характеристика.

А м ф и б о л и з и р о в а н н ы е п и р о к с е н и т ы , г а б б р о - п и р о к с е н и т ы , о л i v i n o v y e п i r o k s e n i t y и п e r i d o t i t y o b r a z u y t внешнюю, большую часть феклисто-вулканического массива. Ниже приводится их описание.

А м ф и б о л и з и р о в а н н ы е п и р о к с е н и т ы , г а б б р о - п и р о к с е н и т ы , о л i v i n o v y e п i r o k s e n i t y и п e r i d o t i t y o b r a z u y t внешнюю, большую часть феклисто-вулканического массива. Это массивные, слагают внешнюю юго-восточную часть массива. Это массивные, темные, зеленовато-черные, неравномерно зернистые породы с крупными выделениями роговой обманки. Они состоят из моноклинного, реже ромбического пироксена (30–60%), роговой обманки (20–50%) и некоторого количества оливина, плагиоклаза, серпентина и рудных минералов. Химический состав этих пород приведен в таблице.

Роговая обманка развивается по пироксенитам и местами замещает их почти полностью (в этом случае пироксениты переходят в горн-пироксениты).

Г а б б р о - п i r o k s e n i t y встречаются совместно с амфиболизированными пироксенитами и отличаются от них отсутствием оливина и повышенным содержанием плагиоклаза (до 10%). Судя по данным химического анализа аналогичных пород с западного побережья о-ва Бол. Шантар (Тороков, Караваев и др., 1976), они и по химическому составу занимают промежуточное положение

между габбро и пироксенитами.

О л i v i n o v y e п i r o k s e n i t y слагают самую мощную колцевую зону, составляющую примерно половину от общей площади массива. Это темные, серовато-зеленные, среднекристаллические или порфировидные породы с четко выраженной первичной полосчатостью. Они состоят из моноклинного пироксена (80–90%) и подчиненного ему оливина (10–17%). В незначительном количестве присутствует роговая обманка, серпентин и магнетит. Полосчатость обусловлена наличием прослоев мощностью 10–15 см, обогащенных оливитом (до 30–40%). Химический состав оливиновых пироксенов приведен в таблице.

П е р и д o t i t y оказывают дунитовое ядро маломощной прерывистой полосой. Это среднезернистые, обычно порфировидные породы темно-зеленного цвета. Главными минералами являются оливин (87–28%) и пироксен (10–70%), кроме того, присутствуют серпентин, магнетит и местами хромит.

Дуниты (σ_{Pz_3})

Дуниты образуют ядро феклисто-вулканического массива. Это массивные мелкокристаллические породы темного зеленовато-серого (на виду) цвета. Они состоят на 97–98,5% из оливина (форстерита) и 1,5–3% хромита, в незначительном количестве присутствуют серпентин и магнетит. Первоначальная полосчатость обусловлена чередованием прослоев с различной крупностью зерен. Химический состав дунитов приведен в таблице.

Позднепалеозойские (?) жильные образования представлены дунитами дунитов, которые наблюдались только внутри феклисто-вулканического массива среди оливиновых пироксенитов. Это кругопадающие тела мощностью до 5–7 м, имеющие различное (чаще северо-западное и северо-восточное) простирание. По минеральному составу и структуре эти дуниты аналогичны породам, слагающим ядро массива. Н. В. Лужина отмечает, что дуниты имеют редкие контакты с оливиновыми пироксенитами и являются более поздними образованиями, однако разрыв во времени их консолидации был невелик.

По данным Н. В. Лужиной, между дунитами и оливиновыми пироксенитами имеются различия в содержании некоторых элементов – при месей. Так, в дунитах отсутствует ванадий, а титан и медь наблюдаются не во всех пробах, тогда как в оливиновых пироксенитах ванадий, титан и медь присутствуют повсеместно, а хром, кобальт и никель устанавливаются в меньших количествах, нежели в дуни-

Химический состав

Интрузивных пород

# ос- раза	Название породы, место отбора, автор	SiO ₂	TiO ₂	Al ₂ O ₃	Химический состав										
					Fe ₂ O ₃	Fe ₂ O	MnO	MgO	CaO	Na ₂ O	K ₂ O	H ₂ O	П.П.П.	R ₂ O ₅	
Позднепалеозойские															
900	Лунит (оливинит); Фекистовский массив; Л.И.Красный, Г.С.Ганеман	44,73	0,25	12,64	4,23	6,98	0,21	14,84	12,25	2,16	0,26	0,14	1,33	0,02	100,05
447	Лунит; Фекистовский массив; Л.И.Красный, Г.С.Ганеман Н.В.Лужкина	39,33	0,03	0,34	1,11	10,20	0,21	44,13	0,6	0,14	0,06	-	2,66	-	99,53
860	Оливиновый пироксенит; Фекистовский массив; Л.И.Красный, Г.С.Ганеман	49,16	0,37	2,50	1,10	8,31	0,20	17,58	19,20	0,44	0,44	1,13	1,04	-	100,03
863	То же	49,91	0,13	2,42	2,31	5,74	0,18	20,60	17,70	-	-	-	1,18	-	100,17
565	Оливиновый пироксенит; Фекистовский массив; Н.В.Лужкина	48,90	0,31	2,29	2,49	6,99	0,19	18,76	18,99	0,26	0,03	-	1,10	-	99,68
238	То же	50,14	0,15	1,38	0,78	5,17	0,15	21,90	18,79	0,28	0,05	0,16	0,80	-	99,60
901 ^a	Пироксенит; Фекистовский массив; Л.И.Красный, Г.С.Ганеман	46,12	0,38	3,98	1,27	9,34	0,19	23,18	14,78	Следы	0,05	0,93	-	-	100,22
173 ^b	Амфиболомагниевый пироксенит; Фекистовский массив, Н.В.Лужкина	49,79	0,30	4,21	1,86	6,43	0,18	16,75	17,30	0,78	0,22	0,24	-	-	99,86
Позднемеловые															
202	Кварцевый дюрит; Сахарная Голова; С.И.Горюков, В.Б.Караулов	60,14	0,60	16,97	2,86	2,28	0,10	3,07	6,24	3,42	2,00	-	2,29	-	99,97
		59,94	0,60	16,90	2,81	2,46	0,09	2,83	6,26	3,68	2,00	-	2,32	-	99,79

Продолжение таблицы

Числовые характеристики по А.Н.Завариджому

# образца	a	c	b	a'	c'	f'	n'	n	Q
Позднепалеозойские (?) интрузии									
900	4,6	5,6	41,8	48,0	-	20,1	23,4	56,5	94,5
447	0,31	-	65,83	33,86	-	0,9	13,1	86,0	66,6
860	0,6	1,1	51,0	47,3	-	36,2	14,7	49,1	60,0
863	-	1,3	51,4	47,3	-	32,4	10,9	56,7	-
565	0,57	1,03	52,05	46,35	-	34,9	14,4	50,7	100,0
238	0,5	0,5	52,7	46,3	-	34,2	8,8	57,0	100,0
901 ₂	-	2,2	53,8	44,0	-	24,7	15,5	60,8	-
173 ₀	1,76	1,54	47,4	49,3	-	34,7	14,3	51,0	86,3
Позднемеловые интрузии									
202	10,7	6,4	11,6	71,3	-	12,2	41,4	46,3	72,3
	11,3	5,3	11,7	70,8	-	16,2	41,5	42,1	74,0

П р и м е ч а н и е . Образцы 900, 863 и 202 проанализированы в лаборатории ДГТУ, остальные образцы - в лаборатории ВСЕГЕИ.

ПОЗДНЕМЕЛОВЫЕ ИНТРУЗИИ

Формирование позднемеловых интрузий происходило в несколько последовательных фаз. На территории листа №-53-ХI к первой фазе относятся габброиды, ко второй - кварцевые диориты, диориты и гранодиориты. Внедрение массивов сопровождалось образованием даек и кали разного состава.

Габбро (νCr_2)

Габбро (и габбро-монцониты, по Н.В.Лужиной) образуют несколько штокобразных тел по периферии беклистоуского массива. На геологической карте показаны только самые крупные из них, имеющие длину 0,5-1,5 км при видимой ширине до 0,3 км. Контакты

так. Амфиболизированные пироксениты по содержанию элементов-придунитов близки к оливиновым пироксенитам, но в отстие от них и палеозойскими (?) интрузиями связана хроматовая минерализация.

Среди контактовых горячников различаются пироксен-плагиоклазовые и биотит-кварц-полевошпатовые разности. Преобладают из них первые. Они состоят из миопсина, основного плагиоклаза (№ 50-60) и магнетита, изредка встречается биотит. Биотит-кварц-плагиоклазовые горячники состоят из плагиоклаза (№ 30-35), кварца и биотита, в небольшом количестве присутствуют роговая обманка и пироксен. Аксессорные минералы представлены албитом, магнетитом, очень редко сфеном. По мнению Н.В.Лужиной, контактовое воздействие пироксенитов на вмещающие породы было главным образом термальным и привело к полной перекристаллизации исходного материала.

Характер контактовых изменений, выдержаный минеральный состав пород и их структурно-текстурные особенности позволяют считать, что феклистовский массив имеет магматическое (а не метасоматическое) происхождение.

Формирование город Феклистовского массива произошло в последнеинское время. Верхняя возрастная граница остается неясной. Вслед за Л.И.Красним (1960) авторы условно считают эти интрузионные образования позднепалеозойскими, однако нельзя исключить и их более поздний (например, раннемеловой) возраст, поскольку в районе бухты Мамга известны интрузии ультраосновового состава, прорвавшие юрские отложения.

этих тел с имеющимися верхнелевонскими отложениями и поздне-ледовитыми (?) интрузиями четкие, рвущие, характеризуются крутым (до вертикального) падением. В габброидах обычно наблюдается четко выраженная перекочная полосчатость, параллельная контактам. Пестраники и конгломераты волнистые контактов превращены в роговики, пироксениты - андаболлизированы. Ширина зоны контактового метаморфизма 100–200 м.

По мнению Л.И.Красного, габбро Феклистовского массива по petrologическим особенностям существенно отличаются от позднепалеозойских габброидов и имеют позднепалеозойский возраст.

Габбро представляют собой массивные мелкокристаллические породы темно-серого до черного цвета.

Они состоят из 50–60% основного плагиоклаза (и 50–55%), роговой обманки (30–45%), пироксена (1–5%) и магнетита (до 2%) и имеют габбро-офитовую структуру. Извещка встречается блотами. Вторич-

ные минералы представлены хлоритом и агрегатом соссюрита.

О р т о к л а з о в и е г а б б р о слагают несколько малых штоков, не вырастающих в масштабе карты. По данным Н.В.Лужиной они представляют габбро и являются более молодыми образованиеми. Это тонкокристаллические порфироидные породы темно-серого цвета, состоящие из 35–40% основного плагиоклаза (иа-радара № 55), кальевого полевого шпата (15–18%), пироксена (30–35%), доломита (5–7%), оливинна (1–3%) и рудного минерала (1–3%). Структура основной массы иондоцитовая. Н.В.Лужинина называет эти породы габбро-концентратами.

Кварцевые диориты, диориты, грандиориты (\pm Sc₂)

Кварцевые диориты, диориты и грандиориты второй фазы венчения образуют западную половину о-ва Сахарная Голова. Значительная часть этого массива скрыта под уровнем моря, видимая его площадь составляет около 2 км². Контакты с имеющимися верхнелевонскими отложениями очень крутие, почти вертикальные. Границы плюсивистично содеряют ямы и ясенолиты, размер которых достигает местами 3–5 м. Осадочные породы в эзоконтактовой зоне превращены в роговики и кварциты. Ширина полос контактового метаморфизма не менее 500 м.

К а р п е в и е д и о р и ты представляют собой массивные крупнокристаллические породы светло-серого цвета, состоящие № 3 андезина № 32–40 (60–65%), кварца (10–15%), биотита (10–15%) и роговой обманки (до 10%). Аксессорные минералы пред-

ставлены цирконом, сбрасом, апатитом, рутилом и магнетитом. Структура гипидоморфозернистая, местами порфироидная. Встречные изменения выражаются в хлоритизации темнопиретных минералов. Палинитизация и соссюритизация полевого шпата. Химический состав этих пород приведен в таблице.

При увеличении количества кварца и уменьшении цветного числа кварцеление диориты постепенно переходят в гранодиориты.

Д и о р и ты – массивные темно-серые и зеленовато-серые средне- и крупнокристаллические породы. Они состоят из андезина № 35–45 (50–65%), апатита (20–30%), роговой обманки (8–10%) и биотита (8–10%). Структура гипидоморфозернистая, реже порфироидная. Из акссесорных присутствуют рудные минералы и рутил. Вторичные минералы представлены хлоритом и серцитом.

Обычными для габброидов и гранитоидов элементами-примесями являются кобальт, титан, ванадий, хром и медь. В гранитоидах, кроме того, постоянно присутствуют молибден и олово.

Диориты, формирование которых связано с заключительными этапами позднепалеовой интрузии, деятельности, нередко наблюдаются в береговых обнажениях. Однако на о-ве Феклистове они встречаются значительно реже, чем на востоке о-ва Большой Чантар, где сосредоточена большая часть позднепалеовых интрузийных образований, а на о-ве Медвежьем они вообще не отмечались. Продолжают лавки среднего состава – в основном диорит-порфиры. Диориты габбро-разновидностей, а на о-ве Медвежьем они вообще не отмечались. Продолжают лавки среднего состава – в основном диорит-порфиры. Диориты габбро-разновидностей, а на о-ве Медвежьем они вообще не отмечались. Н.В.Лужиной по периферии Феклистовского массива. Диориты кислого состава, представленные грандиорит-порфирами, известны на юге о-ва Феклистова.

Г р а н и о р и ты – пирофили (\pm Sc₂) образуют кругопадающие (75–80°) лавки мощностью 1,5–2 м. Простирание их близмеридиональное, реже северо-восточное. Это светло-серые, массивные мелко- и среднезернистые породы с порфировыми выделениями плагиоклаза, кварца, биотита и роговой обманки. Они состоят из симоклаз-андезина № 25–40 (40–60%), кальмового полевого шпата (10–20%), кварца (10–20%) и темнопиретных минералов (биотита, роговой обманки, редко пироксена) – до 10–15%. Из акссесорных встречаются апатит, гранат и рудные. Встречные изменения выражаются в серцитизации и соссюритизации полевых шпатов, хлоритизации и эпиломитизации темнозвездных минералов.

Д и о р и т - п о р ф и р и т ($\delta_{\text{и} \text{С} \text{r}_2}$) образует

кругопадающие ($70\text{--}90^\circ$) линии мощностью до 5–7 м, имеющие северо-восточное, реже диаметральное и северо-западное простирание. Они представляют собой темные, зеленовато-серые или буровато-зеленные неравномернозернистые породы с порфировидной структурой и состоят из андезина (~30–40 (60–65%), цветных (до 30%) и аксессорных минералов. Очень редко встречается кварц. Цветные минералы представлены роговой обманкой и бломитом, аксессорные – сфеном и рутилом (содержание последних достигает местами 5%). Вторичные изменения выражаются в хлоритизации цветных минералов, серпентинизации, соскристивания и пелинизации полевых шпатов. Местами длюрит-порфириты сильно карбонатизированы.

С п е с с а р т и т ($\chi_{\text{С} \text{r}_2}$) образует сравнительно маломощные (0,5–1,5 м) кругопадающие линии блокмеридионального и северо-западного простирания. Это темные, зеленовато-серые, мелкозернистые породы, состоящие из андезина (~35–40 (50–55%), роговой обманки (35–40%) и небольшого количества кварца (до 5%). Встречается рутильный минерал. Очень сильно развиты вторичные изменения (хлоритизация, соскристивания и карбонатизация).

Нередко встречаются кварцевые жилы, мощность которых обычно не превышает 5–15 см. Максимальное их количество концентрируется вблизи гранитоидного массива (о-ва Сахарная Голова) и в зонах различных нарушений. На восточном берегу о-ва Медвежьего в отдельных пластах песчаников наблюдались редкие тонкие (до 5 см) кварцевые жилья лестничного типа.

Все интрузии сопровождаются ореолами kontaktового метаморфизма. Вблизи массивов габброидов осадочные породы превратились в блотит-кварц-полевошпатовые и широкосланцовые роговники, пироксениты амфиболизированы и часто переходят в горноледиты. Около гранитоидных массивов kontaktовые изменения выражены наиболее ярко. В полосе шириной 100–150 м песчаники, алевролиты и другие породы превращены в блотит-кварц-полевошпатовые и кварц-биотитовые роговники и кварциты. Местами роговниковые солерокты точечную квадратичность пирита. Далее 100–150 м от контакта ороговикование выражается в окислительной и окварцеванием цемента.

Позднемеловой возраст этих интрузионных образований доказывается их петрографическим складчатым с габброидами и гранитоидами Лутянского интрузионного комплекса (территория листа N-53-XII), которые прорывают верхнепрерские отложения и имеют абсолютный возраст 94–82 млн. лет.

ТЕКТОНИКА

Описываемый район находится в северо-восточной части Монголо-Охотской складчатой системы, в пределах Улусо-Пантанского синеклиния, образованного сложно дислоцированными палеозойскими геосинклинальными отложениями¹. На палеозойское складчатое основание наложен Горомский прогиб, выполненный верхнетриасовыми, проским и нижнекембриевыми отложениями (в рассматриваемый район входит только северная окраина этого прогиба, скрытая в основном под водами Охотского моря). Палеозойские толщи прорваны позднепалеозойскими (?) и позднемеловыми интрузивными образованиями.

На о-ве Феклистова и малых островах можно наблюдать участки юго-восточного крыла и осевой зоны крупной сложно построенной складчатой структуры – Феклистовского синклинального прогиба (рис. I). Его юго-восточное крыло образовано терригенными, в меньшей степени карбонатными и вулканогенно-кремнистыми верхнедевонскими породами, а осевая зона выполнена вулканогенно-осадочными, терригенными и карбонатными отложениями нижнего карбона. На юго-востоке района (под уровнем моря) крыло этого прогиба переходит в северо-западное крыло Шантарского антиклинального поднятия, строение которого изучено на о-ве Бол.Шантар.

Основная зона и крыло Феклистовского синклинального прогиба осложнены синклинальными и антиклинальными складками разных порядков, наиболее крупными из которых являются Центрально-Феклистовская (1) и Западно-Феклистовская (2) антиклинали и сопряжение с ними синклинали мыса Локатого (3), губы Лебяжьей (4) и о-ва Медвежьего (5).

Центрально-Феклистовская антиклиналь представляет собой асимметричную линейную складку северо-восточного простирания с углом падения пород на крыльях от 50–70 до 80–90°. Ее ось расположена несколько ниже главного долораздельного хребта о-ва Феклистова. Вдоль этой антиклинали находят вулканогенно-кремнистые, карбонатные и терригенные породы онежской свиты, сменяющиеся на крыльях песчаниками и алевролитами燮ольшомокской свиты. Шарнир погружаются в северо-восточном и

¹/ Цифры в скобках соответствуют номерам на тектонической схеме.

шго-западном направлении. Шго-восточное крыло осложнено крупным разрывным нарушением и, вероятно, местами подвернуто. Существенные различия в строении большемокской свиты на разных крыльях этой антиклинали свидетельствуют о ее конседиментационном характере.

Большая часть Западно-Феихистовой антиклинали находится под уровнем моря (см.рис.1). На юго-западе о-ва Феихистова находятся ее ядро и крылья, образованные в основном вулканическими и карбонатными породами омокской смыти. Северо-западное крыло построено сравнительно просто, породы имеют углы падения 60—70° и местами смешены небольшими разрывами. Для юго-восточного крыла характерно более круглое (70 — 80 °), нередко опрокинутое залегание пород и большое количество мелких разрывных нарушений. В северо-восточном направлении эта антиклиналь погружается и куполообразно сливается Центрально-Феихистовской антиклиналью. На ее юго-западном продолжении расположена, вероятно, еще одна антиклинальная складка, с которой связаны выходы омокской смыти на о-вах Спальти и Камни.

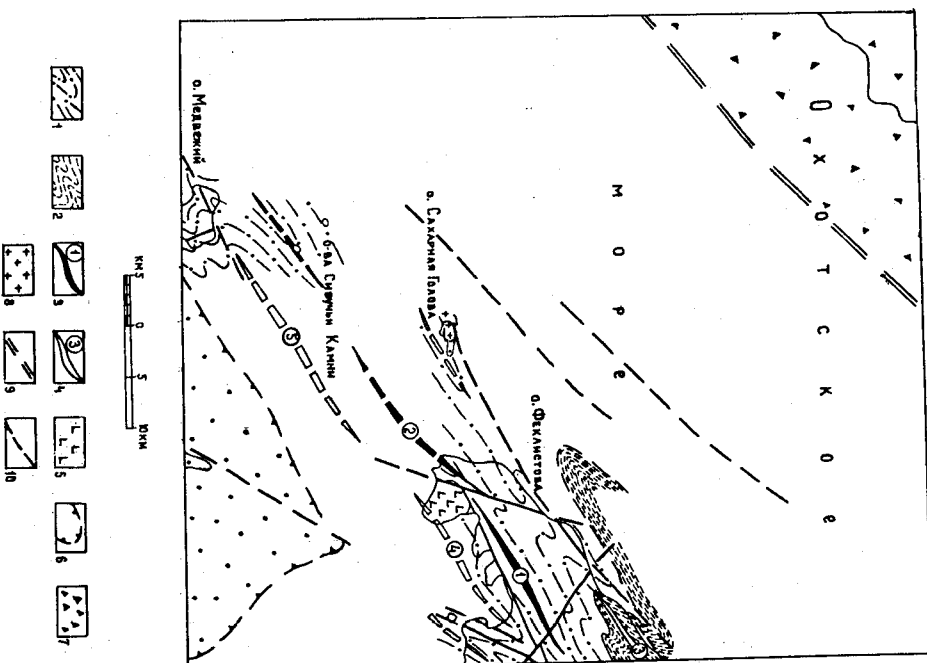


Рис. I. Тектоническая схема

Палеозойские структуры: 1-2 - участки юго-восточного края палеозойской зоны Феклистовского синклинального прогиба; структуры, образование 1 - верхнедевонскими и 2 - нижнекаменноугольными отложениями; 3 - антиклинали (обозначены цифрой в кругах); 4 - Центрально-Феклистовская, 2 - Западно-Феклистовская; 4, 4 - синклинали; 3 - мыса Покатого, 4 - губы Лебяжий, 5 - острова Мельчевето; 5 - позднепалеозойский (?) Феклистовский гигантский перекаточный массив. Мезозойские структуры: 6 - северная часть Тюменского напластенного прогиба, выполненная верхнеюрскими тягами и меловыми отложениями и вулканогенно-осадочными горизонтами; 8 - интрузивные массивы позднемеловых гранитоморф. Разрывные нарушения: 9 - Устький глубинный разлом; 10 - прочие разрывные нарушения.

Непосредственно к югу от о-ва Фекистова проходит ось синклинала тубы Лебяжьей (4). В береговых обнажениях хорошо видно строение ее крыльев, образованных терригеническими породами Большеморской свиты. Иго-западным продолжением синклинала тубы Лебяжьей является синклиналь о-ва Медвежьего (5), выделенная в значительной мере условно на основании сопоставления характера залегания пород на о-вах Сивучий Камни и Медвежий. Обе структуры представляют собой по существу единую сложно построенную синклиналь, северо-восточное центрогигиальное заложение которой наливается в бассейне р.Лебяжьей, а юго-западное заложение – на о-ве Медвежьем. Отложения Большеморской свиты, слагающие крылья этих структур, характеризуются утрамблением от 30–50 до 70–80° и образуют многочисленные макро-

и — сюда. У подножия горы в южной части участка, на участках. Крылья ее характеризуются углами падения 60—70° и осадки мелкими линейными, нередко опрокинутыми складками и разрывами. Породы на крыльях обычно рассланцованны, а местами преобразованы в кварцево-сланцевые сланцы. В верховых р. Медведь-ея находилось центральное замыкание этой синклиниали.

К северо-западу от описанных антиклиналей, в осевой зоне Феклистовского синклинального прогиба, расположено несколько синклинальных овялок, самая крупная из которых — синклиналь мыса Покатого (3) — прослеживается с территории листа № 53-XII. В ядре этой складки выходят самые верхние горизонты

складки, местами очень простые, пологие, а местами сложные, осложненные, сопровождение разрывами нарушениями. К северо-западному крылу синклинали туда Лебяжьей приурочен феоклистовский гиперразломный массив своеобразной воронкоидной формы. Вытесненные породы на контактах с интрузией часто опрокинуты, подвернуты и падают под массив.

С палеозойскими складчатыми структурами тесно связаны разрывные нарушения северо-восточного простирания. Эти нарушения представляют собой сбросы или сбросо-сдвиги с крутым (до вертикального) положением поверхности смещателя и сравнительно небольшой амплитудой (от десятков до нескольких сотен метров). Крупные разломы сопровождаются многочисленными опериодами разрывами и трещинами. На мезозойском и кайнозойском этапах развития подвижки по многим из них возобновлялись.

Среди крупнейших структурных единиц, формирование которых связано с палеозойским и мезозойским этапами развития, важное место занимает Улский разлом глубинного типа. В пределах описываемого района он проходит под морем и на тектонической схеме (см. рис. 1) показан в значительной мере условно, с использованием линий аэромагнитной съемки. К северо-западу от этого разлома расположалось палеозойское падение, а в современной структуре он является юго-восточной границей Улского прогиба, выполненного вулканическими и вулканогенно-осадочными мезозойскими толщами.

Северная часть Торомского наложенного прогиба выполнена верхнеюрскими осадочными отложениями, для которых характерно очень пологое залегание. Кимеридж-этажные песчаники и алевролиты, выходящие на мыс Мал.Луганка, залегают практически горизонтально.

Морфология позднемеловых интрузивных тел описана в граве "Интрузивные образования". С мезозойским этапом связано обнаружение палеозойских разрывных нарушений, а также образование большого количества молодых разрывов северо-западного и северо-восточного простираний. Обично это нарушения типа сбросо-сдвигов с крутым ($60\text{--}90^\circ$) падением смещателя и амплитудой, не превышающей первых сотен метров. Нередко к ним приурочены да-

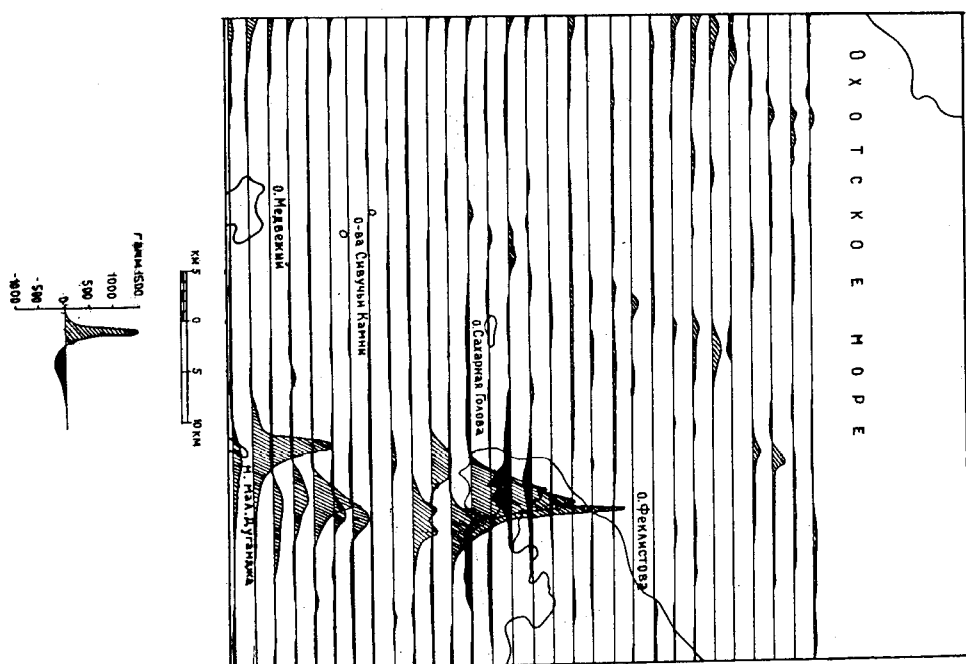


Рис.2. Карта графиков ДТ (по материалам И.И.Шапочкин, С.И.Дыленко и др., 1960г)

что севернее мыса Мал.Луганка под водами моря скрыты интрузивные массивы габброидного или гранитоидного состава, а также наметить положение некоторых разрывных нарушений.

ГЕОМОРФОЛОГИЯ

Участки суши, входящие в пределы рассматриваемого района, характеризуются в основном эрозионно-денудационным рельефом.

Денудационные, эрозионно-аккумулятивные и абразионно-аккумулятивные формы рельефа занимают небольшую площадь в долинах рек и на морском побережье. Главные черты геоморфологии суши и прилегающих участков дна Охотского моря отображены на схеме (рис.3).

Ведущую роль в формировании эрозионного рельефа играет ландшафтный рельеф низких гор, занимавших большую часть островов, играли процесс речной эрозии и склоновой денудации, протекание на фоне неотектонических движений. Морфологический облик гор определяется, в первую очередь, амплитудой изогейских тектонических поднятий и составом выходящих на поверхность пород. Значительное влияние на него оказала также деятельность горных рек, выравнивавшая усиление эрозионной деятельности на некоторых участках.

Горный рельеф расщепленный рельеф с абсолютными высотами 400–500 м развит в северной и центральной частях о-ва Фоки-Сима. Водораздельные гребни, как правило, узкие (50–200 м), извилистые, в плане образуют многочисленные сложно ветвящиеся стока. Водораздельные гребни, крутизной 25–30°, передко покрыты мелкие отроги. Слоны прямые, крутизной 25–30°, передко покрыты разызвращающимися и закрывающимися осадками. Расщепленные же речки и ручьи имеют глубоко врезанные долины с V-образным поперечным сечением и крутыми склонами, прорезанными многочисленными (до 3–5 на 1 км) распадками. Чередование пластов различной твердости приводит местами к образованию малых структурных форм типа моноклинальных гребней и кустообразных гряд.

Горный рельеф со слегка сглаженными очертаниями характерен для южной части о-ва Фоки-Сима и для о-ва Медвежьего. Высота гор колеблется от 200 до 400 м. Водораздельные поверхности уплощенные, склоны выпуклые, шириной от 100–300 до 600 м. Над ними возникаются отдельные греки и конусовидные вершины. Долины рек и ручьев лишь в самых верховых имеют V-образный профиль, ниже по течению они быстро расширятся и приобретают трапециoidalную форму. Слоны их слабо расщеплены распадками и имеют вогнутый профиль (кругизна в верхней части 20–25°, анизу – 5–10°). В верхних частях склонов встречаются отдельные осадки. Многие водораздельные гребни и останочные греки представляют



Рис.3. Геоморфологическая схема

С у п а . Эрозионно-денудационный рельеф: 1 – горный рельеф с сглаженными очертаниями; 2 – горный рельеф со слегка сглаженными очертаниями; 3 – горный рельеф с зубчатыми склонами гребнями. Денудационный рельеф: 4 – слегка расщепленная денудационная поверхность высотой 5–20 м. Эрозионно-аккумулятивный рельеф: 5 – третья надпойменная терраса; 6 – вторая и первая надпойменные террасы и пойма. Абразионно-аккумулятивный рельеф: 7 – морская соленая терраса. Формы рельефа: 8 – карстовые ямы; 9 – террасистые западины и бугры дунеев; 10 – абразионный уступ; 11 – абразионные останцы (жекуры).

М о р е (по данным Л.Б.Гершановича). Абразионно-аккумулятивный рельеф: 12 – первоначально расщепленный рельеф, покрытый галечно-гравийно-песчаными и грубообломочными осадками; 13 – участки дна, покрытые песчано-илистыми и глинистыми осадками; 14 – преобладающее положение долин палео-Улы и ее притоков; 15 – изобаты

содой открепарированы пласти наиболее устойчивых к выветриванию пород.

Горный рельеф с зубчатыми склонами гребнями с абсолютными отметками 300–400 м развит на юго-западе о-ва Феликса. Особая роль в распространении сопадает с бахчисарайским массивом листьев его распространения сопадает с бахчисарайским массивом ультраосновных пород. От описанных выше типов горного рельефа он отличается очень узкими (несколько метров) труннопроходными ворогузельными трещинами с многочисленными склонами останицами высотой до 10–20 м. Слоны гор вогнутые, крутизной 20–30°, почти не расчленены распадками. Верховья слабо врезаны.

В горах и предгорьях на участках широкого распространения известняков нередко наблюдаются карстовые формы микрорельефа, приуроченные в основном к нижним частям склонов и седловинам. Карстовые воронки имеют овальные или округлые очертания в плане, крутизне (30–60°) склонов и стяжания бровок. Диаметр их колеблется от 3–5 до 25–35 м, глубина 2–6 м.

Л е и У д а п и о н и й р е л ь е ф представлен приподнятым левую поверхностью высотой 5–20 м над полемасивом в долинах рек Лебяжей и Беличьей. Она примыкает к поверхностям приподнятым террас и напоминает их по внешнему виду, отличаясь отсутствием аллювия и несколько более круглым (2–5°) угломоном.

Тыловой щов выражен сравнительно четко. Возраст этой поверхности, вероятно, позднечетвертичный – современный.

Э р о з и о н о – а к к у м у л я т и в н ы й р е л ь е ф представлен речными террасами трех уровней и полной совре-

мененными реками. Третья (высокая позднечетвертичная) надподъемная терраса расположена на правобережье р.Лебяжей. Высота этой террасы меняется от 5–6 м в верховых до 10–15 м в нижнем течении. Поверхность ее плоская, полого ($1-2^{\circ}$) наклонена в сторону русла; ширина 0,3–1 км. Тыловой щов слабый, бровка обычно выражена отчетливо, склоны сравнительно крутые.

Вторая (нижняя позднечетвертичная) надподъемная терраса высотой от 2 до 10 м распространена в долинах большинства рек и ручьев. Она повсеместно аккумулятивная. Поверхность этой террасы шириной до 0,5–1 км плоская, со слабо выраженным следами старых русел. Тыловой щов и бровка четкие, склоны достигают крутизны 20–40°.

Первая (головенская) надподъемная терраса высотой до 3 м прослеживается в долинах большинства рек. Она повсеместно акку-

мультизональная, имеет плоскую поверхность шириной до 100–200 м, обычно заостренную. Тыловой щов, бровка и углы выражены четко.

Пойма рек и ручьев имеет высоту от 0,5–0,7 м в верховых до 1,5–2,5 м в нижнем течении и ширину до 0,5 км.

На поверхностях речных террас нередко встречаются мезалитные формы микрорельефа, представляющие буграми пучения высотой 0,8–2,5 м иоперечником 5–10 м и термоизогонами западинами, размер которых колеблется от первых до сотен метров (наиболее крупные из них заняты озерами).

А б р а з и о н н о – а к к у м у л я т и в н ы й р е л ь е ф представлен морскими абразионными и аккумулятивными формами.

Для Шантарских островов характерен абразионный бутовый берег с типичным для него комплексом форм рельефа: круглым абразионным уступом с волнодробящими нишами, абразионными останцами (кекурами) и валунно-галечным пляжем. На тех участках, где пляж отсутствует, обнаруживается абрационная площаадка. Конфигурация береговой линии обнаруживает связь с геологическим строением прилегающей местности. При этом чередование мысов и бухт обусловлено не только сменой разнотипности пород, но и степенью их трещиноватости. Глубокие бухты нередко приурочены к зонам дробления, связанным с различными нарушениями и дарами складок.

Акумулятивные формы рельефа пользуются небольшим распространением. Это пляж и приставные косы, состоящие из одного или нескольких береговых валов. Самая крупная коса длиной до 1,5 м отделяет от моря долину р.Лебяжей. На западном берегу о-ва Феликса сохранился небольшой участок морской аккумулятивной террасы высотой до 6 м. Терраса характеризуется пологим микрорельефом, обусловленным чередованием береговых валов и различными их понижениями. Ширина крутым ($5-10^{\circ}$), состоит из одного или нескольких береговых валов и имеет среднюю ширину 20–50 м.

Участки Охотского моря, омывающие острова, характеризуются небольшими глубинами, которые постепенно возрастают от берега в сторону открытого моря и достигают на северо-востоке района 50 м. Во время больших отливов значительные участки дна обнажаются и становятся доступными для наблюдения. К крутым склонам обрывам обычно примыкают абразионные площаадки, образованые коренными породами и практически липкими аккумулятивного покрова. Эти площаадки имеют неровный, часто ребристый микро-

рельеф, обусловленный чередованием различных по твердости пород. Наиболее прочные пласты (массивные песчаники и др.) образуют каменные рифы, далеко выдающиеся в море. Ширина абразивных площадок достигает десятков и сотен метров, а изредка - нескольких километров. В вершинах заливов волны устремляются реки моря покрыто песчаными и щитовыми осадками. На поверхности песчано-иллистого дна встречаются глины и валуны размером до нескольких метров. Нередко они представлены породами, отсутствующими в близлежащих береговых обрывах. Эти глины и валуны привнесены плавающими льдами.

Очень интересные данные о строении дна моря и составе покрывающих его современных осадков содержатся в работах Д.Е. Гершановича (1955, 1958). В сокращенном виде эти данные отражены на геоморфологической схеме (см.рис.3).

Часть шельфа, непосредственно примыкающая к берегу, характеризуется геранием рельефа дна вызванным высоким гидродинамической активностью волн, которая создается, в первую очередь, приливными течениями. Большие скорости приливных течений способствуют широкому распространению грубообломочных и галечно-гравийно-песчаных осадков, содержащих значительную примесь раковин моллюсков и других современных органических остатков. Небольшие участки дна (как правило, они расположены вблизи берегов), для которых характерны сравнительно небольшие скорости приливных течений, покрыты песчано-иллистыми, щитовыми и глинистыми осадками с незначительной примесью грубообломочного материала.

Сходство рельефа и геологического строения Шантарских островов и примыкающих частей материка свидетельствует о том, что в течение длительного времени они размывались как единое целое. Изучение геоморфологии района, а также использование данных о составе фауны пресноводных рыб (Линдберг, 1946) и современной наземной флоры позволили Г.С. Ганшину сделать вывод о том, что образование залива Охотского моря и отделение Шантарских островов от материка произошло совсем недавно, по-видимому, уже в последелниковое время. Судя по реликтам крупных речных долин, сохранившимся на островах Мал. Шантар и Белий (Горюхов, Караполов и др., 1965), большая часть акватории, занятой в настоящее время заливами Охотского моря, еще в конце позднечетвертийской эпохи представляла собой низменную сушу с густо разветвленной речной сетью. На дне Улской губы сохранились четко выраженные

в изотах изобар остатки долины палео-Улы (см.рис.3). Анализ современной речной сети островов и морфологии заливов позволяет восстановить положение некоторых более мелких долин и определить направление течения образовавших их рек.

ПОЛЕЗНЫЕ ИСКОПАЕМЫЕ

МЕТАЛЛИЧЕСКИЕ ИСКОПАЕМЫЕ

ЧЕРНИНСКИЕ МЕТАЛЛЫ

Марганец

На отдельных участках о-ва Феклистова кремнистые и сильно окраиненные породы верхнего девона и нижнего карбона обогащены гидроокислями марганца. В 2,8 км юго-западнее мыса Западного выделяется пачка до 25 м сильно рассланцованных и окраиненных песчаников и алевролитов с большим количеством мелких линз кремнистых пород (большеокайская свита). Эти породы пропитаны окислями и гидроокислями марганца по многочисленным трещинам и часто содержат выраженную цирита, редко халькопирита. Заметное окраинение отмечается и в зонах различных нарушений этого участка.

Красные и зеленые кремнистые породы, обнажающиеся на мысе Красном, неравномерно обогащены окислями и гидроокислями марганца. Обично наблюдаются тонкие пленочки и корочки цирконита по плоскостям отдельности.

Хром

В районе Феклистовского гипербазитового массива выделяются четкий спектрометрический ореол хрома с содержанием от 0,5 до 3%. Спектральные анализы ультраосновных пород массива показали, что максимальная концентрация хрома (до 1,5%) связана с пунцами, образующими его центральную часть. Наряду с хромом, ультраосновные породы обогащены никелем, кобальтом и медью. Максимальное содержание никеля в металлометрических про-бах достигает 2,5%. Хромит отмечается во многих шлаковых про-бах. Каких-либо рудных залежей хромитов не обнаружено. В 1948 г. Л.И. Красным выявлены хромитодержания оливино-вые пески на небольших (0,25-0,55 км) участках затопляемого

в прилив пляка, охватывающего юго-западное побережье бухты Энгельма. Ширина пляжа 40–60 м., общая протяженность участков песчаного пляжа не превышает 1 км. Обычно хромит составляет 15–20% от веса шлиховых проб, отобранных из этих песков.

На участке между мысом Арик и вершиной бути Энгельма, по-видимому, имеется подводная россыпь хромита. По данным Л.Е.Германовича (1955), в пробе морских осадков, отобранный с глубины 16 м в створе между устьем ручья на побережье и о-вом Шилова, слабоокатанное зерна хромита составляют 16% от тяжелой фракции и 12% от всего осадка.

П р е т и н е м е т а л л и

Медь

Проявления меди обычно связаны с отдельными зонами перекладин, в которых наряду с интенсивной выщелаченностью ширита, отмечаются редкие зерна и агрегаты зерен халькопирита. Такие минерализации зоны прослойки отмечаются в породах большомощностной и фекистовской свит на северном побережье о-ва Феликс-Фердинандов и кремнисто-глинистых пород омокской свиты в 2 км севернее мыса Красного. Нагром мелкой зелени отмечаются в отдельных глыбах амфиболизированных ультрасосновных пород в юго-западной части фекистовского массива. На этом участке редкие знаки халькопирита фиксируются в шлиховых пробах.

Б л а г о р о д н ы е м е т а л л и

Золото

Золотоносность аллювиальных руч. Баличского (восточное побережье губы Лебяжей) была установлена Л.И.Красным в 1948 г. и подтверждена авторами в 1964 г. В руслою аллювиальных галечников террасы высотой 1,5 м обнаруживаются единичные знаки золота (1–6 знаков на лоток). По линии шлихового опробования, аллювиальный ручьи золотоносен лишь в низовых долинах (около 1,5 км). На этом участке долина пересекает две зоны разрывных нарушений северо-восточного простирания, которые сопровождаются дайками граниторогового состава и пегматитами окварцеванием пород. Внешне этих зон разрывов аллювиальные долины не золотоносен. Этот факт

свидетельствует о возможности проявления золоторудной минерализации, распространение связанный с зонами этих разломов. Вероятно, приподнявшие части аллювиальных низовьев долин рек Баличей и Лебяжей существенно обогащены золотом.

По данным Л.И.Красного, знаки золота содержатся и в отложений пляжа по западному побережью бухты Лебяжей. Многочисленные кварцевые прожилки и зоны притяжания в отложениях омоковой и большомощностной свит могут быть коренными источниками золота.

Н Е М Е Т АЛЛ И ЧЕ СКИЕ И СКОПЛЕНИЯ

М и н е р а л ы н е у д о б р е н и я

Фосфат

Качественным опробованием отложений омокской, большомощностной и фекистовской свит установлена повышенная фосфатность отдельных литологических разностей. Максимальная фосфатность приурочена к кварцитовым породам правобережья р.Клиновского, к основанию пачки кремнисто-глинистых и терригенных пород на участке мыса Красного и к окварцированным алевроплитам и песчаникам в районе мыса Западного 2-го. Повышенная фосфатность отмечается также в верхах разреза большомощностной свиты на участке юго-западнее и северо-восточнее мыса Западного. Обычно фосфатоносные породы отмечаются в основании пачек терригенных пород, залегающих на купланогенно-кремнистых образованиях. В целом район перспективен для обнаружения фосфоритоносных пластов среднего и высокого качества.

С и л и к а т и и

Асбест

По данным Л.И.Красного, в центральной части фекистовского гипербазитового массива выделяются небольшие участки (2х5м) садо серпентинизированных дунитов с асбестовыми прожилками в 1–3 см. Местами они группируются в зонах мощностью 1,5–2 м и протяженностью 3–5 м.

СТРОИТЕЛЬНЫЕ МАТЕРИАЛЫ

В качестве строительных и облицовочных материалов могут быть использованы мраморизованные известняки, песчаники, ультраосновные породы Феклистовского массива и яшмовые кремнистые породы.

Мраморизование известняков обнаружается по западному и северо-западному побережью о-ва Феклистова. Количество пачек и линз от 3-5 до 150 м. Они обычно светло-серые, местами окварцованные. Наибольшее количество крупных пачек известняков отмечается в пределах площади развития омокской свиты (центральная часть острова).

Темно-зеленые и зелено-серые крупнокристаллические ультраосновные породы Феклистовского массива обнаруживаются в бухте Энгельса. Редкие трещины отдельности позволяют получить блоки массивных пород размером более 1x1 м.

Красные и зеленоватые яшмовидные кремнистые породы обнаруживаются на участке мыса Красного. Мощность прослоев массивных яшмовых пород достигает 5 м.

По побережью губы Лебяжьей почти повсеместно обнаруживаются массивные, окремневшие песчаники очень плотного сложения.

Запасы строительных и облицовочных материалов района весьма значительны. Условия разработки и транспортировки наиболее благоприятны на южном побережье о-ва Феклистова (губа Лебяжья).

ОБЩАЯ ОЦЕНКА ПЕРСПЕКТИВ РАЙОНА И РЕКОМЕНДАЦИИ

Все отмеченные проявления полезных ископаемых о-ва Феклистова относятся к разрядумелких непромышленных месторождений. Однако они позволяют дать потенциальную перспективность территории и рекомендации о направлении дальнейших поисковых работ.

С палеогеологами заинтересованными отложенными связки проявления марганца и фосфорита. Проявления марганца распространены в основном к яшмовидным кремнистым породам, которые встречаются по всему разрезу в виде маломощных пачек и линз. Марганцевые руды представлены чаще всего вторичными, переотложенными гидроокислами марганца (пиромагнет). На данной стадии изученности первично-осадочных рудных зонций не обнаружено, однако при более детальных геологических исследованиях есть все основания выявить первичные рудные тела карбонатных, силикатных и первично окисленных марганцевых руд. Наиболее благоприятными условиями для накопления этих руд характеризуются омокская и феклистовская свиты.

Фосфороносность отложений палеозоя изучена слабо, тем не менее перспективы оснащения фосфоритоносных пластов несомненны. Повышенная фосфороносность, как правило, связана с пачками вулканическо-кремнистых и окремневших территориальных пород (основание и верхи территориальных пачек). Для выявления фосфоритоносных пластов и пачек необходимо провести тщательное качественное опробование разрезов палеозоя по береговым обрывам. Выделениерудноносные пласти и пачки следует проследить каналами по простираннию и тем самым оконтурить фосфоритоносные участки.

С гипербазитами феклистовского массива связаны проявления хрома и асбеста. Хромит не образует рудных залежей, а в качестве породообразующего минерала входит в состав дунитов. Практический интерес могут представлять лишь россыпи хромита, образовавшиеся за счет разрушения гипербазитов в отложениях плинка и в прибрежных морских осадках. Масштабы хромитодержащих оливиновых песков пляжа невелики (протяженность до 1 км, ширина 50 м), а контуры подводной россыпи не установлены. Учитывая весьма слабую серпентинизацию гипербазитов, трудно ожидать существенных проявлений асбеста.

Перспективы золотоносности аллювимальных отложений недостаточно ясны. Тем не менее в пригустевой части долины руч. Белльчего можно ожидать обогащение россыпей золотом прослоем аллювия (трудообъемные фации с супесистым заполнителем и приплотиковыми частями разреза). По восточному побережью бухты Лебяжьей возможны прибрежно-морские россыпи. Золоторудные проявления могут быть связаны с минерализованной зоной преобладания регионального простиранния.

Проявления меди практического интереса не представляют. В пределах о-ва Феклистова имеется большие запасы карбонатных пород (омокская и феклистовская свиты), которые могут быть использованы в качестве штучного камня и цементного сырья. Среди пачек кремнистых пород имеется яшмы различной расцветки, которые могут быть использованы как поделочные камни.

По общим геологическим признакам и поисковым критериям перспективность о-ва Феклистова несколько ниже о-ва Большой Шантар, что и определяет очередьность постановки геологической съемки масштаба 1:50 000.

ПОДЗЕМНЫЕ ВОДЫ

По условиям циркуляции и накопления на исчелованной территории выделяются трещинно-грунтовые, трещинно-карстовые, трещинно-кильные и грунтово-поровые подземные воды.

Трещинно-грунтовые воды в озерах заключены в верхней трещиноватой зоне осадочных и вулканическо-осадочных отложений омской, большемомской и феклистовской свит, а также гипербазитов феклистовского массива. Степень обводненности этих пород определяется характером и интенсивностью трещиноватости. Трещины в массивных и грубообломочных породах (песчаники, эфузивные и интрузивные породы, известники, кремнистые породы и алевролиты) обычно открыты, шириной до нескольких миллиметров. Они прослеживаются на значительную глубину. В песчаниках, эфузивах и реке в известняках иногда наблюдается периметрая и вторичная кавернозность. Размер пустот 0,3x3-5 см. Сильно расщеливанные глинистые, алеврито-глинистые и эфузивные образованные характеризуются в основном очень тонкими (волносовидными) трещинами, которые часто глинистированы.

Максимальная степень трещиноватости пород наблюдается в ядрах складок. Мощность зоны усиленной трещиноватости вулкано-глинисто-осадочных пород 100-150 м, интрузивных 30-100 м. Глубина залегания уровня грунтовых вод в линзах долин 5-10 м, на склонах 5-50 м. Трещинно-грунтовые воды выходят на поверхность в виде родников с расходами 0,01-0,5 л/сек, реки 0,8-1 л/сек. Модуль подземного стока составляет 2-25 л/сек (плотами преимущественно разветвленные алевролиты, кремнистые и эфузивные породы) и 10-100 л/сек (карбонатные и грубообломочные породы) с 1 км².

Трещинно-карстовые воды приурочены к крупным пачкам захарствованных известняков, которые выделяются в составе омской свиты и в меньшей степени - в большемомской и феклистовской свитах. Размер карстовых полостей местами может достигать нескольких десятков метров. Максимальная карстостанность известняков отмечается в восточной части о-ва Феклистова. Наличие карстовых полостей способствует накоплению значительных запасов подземных вод. Карстовые родники имеют побережья Охотского моря от Николаевска-на-Амуре до Охотска. - 1 км². Трещинно-карстовые воды распространены на глубину более 200 м и имеют гидравлическую связь с трещинно-грунтовыми родниками. Возможны напорные воды.

Трещинно-кильные воды приурочены к локально-трещиноватым породам в зонах разрывных нарушений. Мощность этих зон колеблется от 10-15 до 100 м. Возможная глубина обводнения более 300 м. Водообильность этих зон в 2-3 раза превышает водообильность равномерно трещиноватых пород. Мощность этих вод могут быть накоротким. Дебит родников составляет 2-5 л/сек. На о-вах Сахарная Голова и Медвежий отмечены выходы (источники) трещинно-грунтовых вод. О-ва Сибирь Камни и Утичи практически дезаводны.

Трещинно-поровые воды заключены в аллювиальных отложениях речных долин о-ва Феклистова. В долинах всех рек и ручьев развит аллювиальные отложения пойменной и первоначальной террас, к которым приурочен единий водосборный горизонт грунтово-поровых вод. Аллювий представлен галечниками, редко валунниками с прослоями гравия и песка. Заполнитель обычно суглинистый, реже стекловатый. Мощность аллювия в долинах рек Лебедей и Лисьей 10-12 м, в более мелких реках до 6 м. Глубина залегания грунтовых вод 0,5-2,5 м. Коэффициент фильтрации галечников 40-80 м/сутки. Производительность колодцев 0,5-1 л/сек.

В долине р. Лебедей выделяется второй водосборный горизонт, приуроченный к верхнечетвертичному аллювию. Глубина залегания подземных вод 2,5-4 м. Мощность обводненных галечников 2-6 м. Коэффициент фильтрации вод 10-50 м/сутки.

По химическому составу подземные воды относятся к типу иониль-трахионных вод вышелачивания. Они гидрокарбонатные и гидрокарбонатно-хлоридные (вблизи морского побережья) со смешанным катионным составом. Для трещинно-кильных вод характерно неизменное содержание сульфат-иона. Минерализация подземных вод не превышает 500 мг/л. Общая жесткость 0,1-0,5 мг.экв/л, pH от 5,5 до 6,4. Шахтово-поровые воды содержат до 6 мг/л хлоридов и до 1 мг/л аммония.

ЛИТЕРАТУРА

ОПУБЛИКОВАННАЯ

Богданович К.И. Геологический очерк западного побережья Охотского моря от Николаевска-на-Амуре до Охотска. - Сб.статей по геологии памяти И.В.Куприкова. СОГ, 1955.
Ганеман Г.С. Появление Шантарских островов. - "Природа", № 4, 1956.

Гершанович Д.Е. Донные осадки Шантарского

района Охотского моря и условия их формирования.-Тр.Гос.океанограф.ин-та, вып.023, 1955.

Гершанович Д.Е. Фации современных осадков северо-западной части Охотского моря.-ДАН СССР, т.118, № 2, 1958.

Горюхов С.И. Геологическая карта СССР масштаба 1:200 000, серия Уссак, лист №-53-ХII. Объяснительная записка. М.1977.

Горюхов С.И., Карапулов В.Б. Геологическая карта масштаба 1:200 000, серия Уссак, лист №-53-ХII, М., 1976.

Карапулов В.Б. К вопросу о стратиграфии палеозойских отложений Западного Приамурья.-Сб.статьй по геологии и гидрогеологии, вып.5, 1965.

Красный Л.И. Об открытии девонской фауны на Шантарских островах.-ДАН СССР, т.93, № 2, 1953.

Красный Л.И. Геология и полезные ископаемые Западного Приамурья. Госгеотехиздат, 1960.

Линдберг Г.У. Геоморфология дна окраинных морей восточной Азии и распространение пресноводных рыб. - Изв.ВГО, № 3, 1946.

Мельников М.П. Описание Якутской экспедиции (1851 года) покойного горного инженера Н.Г.Мегичикого. -"Горный журн", т.Ш, № 7-8, 1893.

Мидлендорф А.Ф. Путешествие на север и восток Сибири, ч.1-2. СПб, 1860-1877.

Фондовая

№/п	Фамилия и имя initials автора	Название работы	Год состав- ления или издания	Местонахож- дение мате- риала, его фон- довый № или место хране- ния
1	Горюхов С.И., Карапулов В.Б. и др.	Геологическое строение, гидро- геологические особенности и полезные иско- паемые Шантар- ских островов и северной час- ти Тунгусского п-ова	1965	ВИФ, № 0267779
2	Красный Л.И., Ганшик Г.С.	Геолого-геомор- фологический отчет островов Бол.Шантар, Фек- коффева. Фонд ВСЕГЕМ,	1949	Фонд ВСЕГЕМ, № 01939

Приложение I

СПИСОК МАТЕРИАЛОВ, ИСПОЛЬЗОВАННЫХ ДЛЯ СОСТАВЛЕНИЯ
КАРТЫ ПОЛЕЗНЫХ ИСКОПАЕМЫХ МАСШТАБА 1:200 000

Геология, полезные виды и полезные ископаемые западного и северо-западного побережья Уссакской губы (лист №-53-Х). Фонд 2-го ГГУ, 1961.

Шапочкин И.И., Диденко С.И. и др. Отчет о
результатах аэромагнитных работ Амгинской партии за 1958-1960 гг.
Фонд ДВГГУ, 1960 г.

Приложение 2

СИСТОМЫ ПРОЯВЛЕНИЙ ПОЛЕЗНЫХ ИСКОПАЕМЫХ, ПОКАЗАННЫХ
НА ЛИСТЕ №-53-Х ГЕОЛОГИЧЕСКОЙ КАРТЫ ССР
МАСШТАБ 1:200 000

№ по кар- те	Индекс кластера на карте	Название проявле- ния и вид полезно- го иско- паемого	Характеристика проявления	Исполь- зован- ные ма- териалы (при- лож. I)	Приме- чание
СОДЕРЖАНИЕ					
МЕТАЛЛИЧЕСКИЕ ИСКОПАЕМЫЕ					
ЧЕРНЫЕ МЕТАЛЛЫ					
I	III-3	Хром Спектрометалло- метрический ореол, содержа- ние хрома 3%	Хромит содер- жится в ото- женных платах и осад- ных мор- ского дна	1,2	

Введение	• • • • •	3
Стратиграфия	• • • • •	6
Интрузивные образования	• • • • •	17
Тектоника	• • • • •	27
Геоморфология	• • • • •	32
Полезные иско- паемые	• • • • •	37
Подземные воды	• • • • •	42
Литература	• • • • •	43
Приложения	• • • • •	45

Стр.

В брошюре пронумеровано 48 стр.

Редактор И.С. Дудорова
Технический редактор Е.М. Павлова
Корректор Г.И. Халтурин

Сдано в печать 13/II 1974 г. Полисано к печати 27/IV 1978 г.
Тираж 198 экз. Формат 60Х90/16 Лев. л. 3,0 Заказ 150с

Центральное специализированное
производственное хозрасчетное предприятие
Всесоюзного геологического фонда